

I-10 斜め入射せん断波を受ける弾性体中の厚肉円筒の動的応答について —— 円筒外面にせん断応力が存在しない場合 ——

室蘭工業大学 正員。松岡健一
北海道大学 正員 能町純雄

1. まえがき

せん断波をうける弾性体の応答問題は種々研究されており¹⁾、著者らもこれまで、せん断波をうける無限弾性体中の厚肉円筒の問題を、弾性体と円筒の境界面の変位と対応する応力が連続する場合について若干の解析を行なった²⁾。しかし覆工を施したトンネルや埋設パイプラインの問題では掘削などにより、境界の状態が乱されているので、境界面での連続性は十分に満足されず、もしも境界面にはせん断応力が存在しないとする方がより実際に近いと思われる。ここでは境界面にせん断応力が存在しない場合についても解析を行ない、境界面で変位と応力が連続する場合との比較検討を行なう。数値計算は、弾性係数式、ボアソン比などを変化させて行なう。

2. 円柱座標で表わされる波动方程式の変位解

円柱座標で表わされる波动方程式の解はすでに示してあるが³⁾、必要上もう一度ここの簡単な示す。図-1のように座標をとり、せん断波の入射方向を ϕ 方向とし、変位成分を u , v , w とすれば、円筒に対して

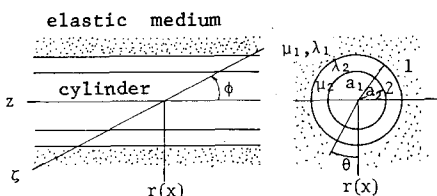


図-1 弾性体中の厚肉円筒

$$u = \sum_m C_m (\tilde{A}_{mr} + \tilde{B}_{mr}) \cos m\theta e^{i(\omega t - Ns)}, \quad (1)$$

$$v = \sum_m (\tilde{A}_{mr} - \tilde{B}_{mr}) \sin m\theta e^{i(\omega t - Ns)}, \quad (2)$$

$$w = \sum_m \tilde{W}_{mr} \cos m\theta e^{i(\omega t - Ns)}, \quad (3)$$

ここで、 $C_m = 1/2\pi$, $C_m = 1/\pi$ ($m \neq 0$), $N = \omega \cos \phi / V_s$, ω : せん断波の角速度, V_s : せん断波の速度, μ : 入射: Lame'の弾性定数, s : 密度, t : 時間, であり,

$$N_u^2 = N^2 - \rho \omega^2 / \mu, \quad N_d^2 = N^2 - \rho \omega^2 / (3\mu + \lambda)$$

とする⁴⁾, \tilde{A}_{mr} , \tilde{B}_{mr} , \tilde{W}_{mr} は

$$\begin{aligned} \tilde{A}_{mr} &= \sum_{k=1}^{\infty} [\chi_{mp}^{(k)}(Nr) / N_k \{ \alpha_{mk} / 2u + (m+1) A_{mk} \\ &+ (m-1) B_{mk} - i N E_{mk} / 2 \} + (\mu N^2 / \rho \omega^2) \{ \chi_{ms}^{(k)}(Nr) / N_k \\ &- N_d \chi_{ms}^{(k)}(Nr) / N^2 \} \{ \beta_{mk} / 2u + (m+1) A_{mk} - (m-1) B_{mk} \\ &+ i N E_{mk} \}], \end{aligned} \quad (4)$$

$$\begin{aligned} \tilde{B}_{mr} &= \sum_{k=1}^{\infty} [-\chi_{ms}^{(k)}(Nr) / N_k \{ \alpha_{mk} / 2u + (m+1) A_{mk} \\ &+ (m-1) B_{mk} + i N E_{mk} / 2 \} + (\mu N^2 / \rho \omega^2) \{ \chi_{ms}^{(k)}(Nr) / N_k \\ &- N_d \chi_{ms}^{(k)}(Nr) / N^2 \} \{ \beta_{mk} / 2u + (m+1) A_{mk} - (m-1) B_{mk} \\ &+ i N E_{mk} \}], \end{aligned} \quad (5)$$

$$\begin{aligned} \tilde{W}_{mr} &= \sum_{k=1}^{\infty} [G_m^{(k)}(Nr) E_{mk} - i (\rho u N / \rho \omega^2) \{ G_m^{(k)}(Nr) - \\ &G_m^{(k)}(Nr) \} \{ \beta_{mk} / 2u + (m+1) A_{mk} - (m-1) B_{mk} + i N E_{mk} \}], \end{aligned} \quad (6)$$

と表わされる。また式中の関数は、

$$\left. \begin{aligned} G_m^{(k)}(Nr) &= R_{m,m}^{(k)}(Nr) / R_{m,m}^{(k)}(Na_k), \\ \chi_{mp}^{(k)}(Nr) &= R_{m+1,m}^{(k)}(Nr) / R_{m+1,m}^{(k)}(Na_k), \\ \chi_{ms}^{(k)}(Nr) &= R_{m-1,m}^{(k)}(Nr) / R_{m-1,m}^{(k)}(Na_k), \\ K_j^{(k)}(Nr) &= I_j^{(k)}(Nr) K_m(Na_k) - (-1)^{j+m} I_m(Na_k) K_j(Nr), \end{aligned} \right\} \quad (7)$$

であり、 I , K は変形か 1 種および 2 種のベッセル関数で、 $a_0 = a_2$ といふ。また α , β , A , B , E は円筒の内外面の変位と応力を表わす一種の積分定数である。

弾性体は円孔を有する無限体とするが、このときの解は、(4)～(6)式において $k=2$ のみとし $a_1 \rightarrow \infty$ とし、式中の関数を

$$\left. \begin{aligned} G_m^{(k)}(Nr) &= K_m(Nr) / K_m(Na_k), \\ \chi_{mp}^{(k)}(Nr) &= -K_{m+1}(Nr) / K_m(Na_k), \\ \chi_{ms}^{(k)}(Nr) &= -K_{m-1}(Nr) / K_m(Na_k), \end{aligned} \right\} \quad (8)$$

としてえられるものに入射波動を加えて与えられるが、入射せん断波は、円柱座標で表わすと

$$u^{(0)} = U_0 \exp [i\omega(t - (z \cos \phi - r \sin \phi \cdot \omega \phi) / V_s)] \times \cos \phi \cdot \cos \theta, \quad (9)$$

$$v^{(0)} = U_0 \exp [i\omega(t - (z \cos \phi - r \sin \phi \cdot \omega \phi) / V_s)] \times \cos \phi \cdot \sin \theta, \quad (10)$$

$$w^{(0)} = U_0 \exp [i\omega(t - (z \cos \phi - r \sin \phi \cdot \omega \phi) / V_s)] \sin \phi, \quad (11)$$

となる。

3. 境界条件

入射せん断波をうけた弾性体中の円筒の解析では、円筒と内孔を有する無限体を、境界条件を満足するように組合せて行はうが、係数 A_i, B_i によってはきりめの適合条件を満足しなければならぬ。

$$A_{ik} A_{mk} = \tilde{A}_{mk})_{r=a_k}, \quad (12)$$

$$A_{ik} B_{mk} = \tilde{B}_{mk})_{r=a_k}, \quad (13)$$

ここで、無限体および円筒の変位および応力に関するものをそれなりに上添字 (1), (2) で区別し、その他の係数を下添字 1, 2 で区別するもとすれば、境界条件は、円筒の内面は中空であるとして、

i). $r = a_1$ の場合

$$\tau_{r1}^{(1)}|_{r=a_1} = 0 \quad \therefore \alpha_{m2}^{(1)} = 0 \quad (14)$$

$$\beta_{r1}^{(1)}|_{r=a_1} = 0 \quad \therefore \beta_{m2}^{(1)} = 0 \quad (15)$$

$$\tau_{r2}^{(1)}|_{r=a_1} = 0 \quad (16)$$

ii). $r = a_1$ (弾性体と円筒の境界面) の場合

このときは、境界面で変位・応力が連続な場合と、せん断応力が存在しない場合で条件が異なる。

ii-a). 变位および応力が連続な場合 (case-I).

この場合は、境界面で各方向変位と境界面に作用している応力がそれぞれ等しいとする。

$$\begin{aligned} u^{(1)} + u^{(2)}|_{r=a_1} &= u^{(2)}|_{r=a_1} \\ \therefore A_{m1}^{(1)} + B_{m1}^{(1)} &= A_{m2}^{(1)} + B_{m2}^{(1)} + \text{II}_0 \pi \cos \varphi \cdot e^{im\theta} \\ &\times \{ J_{m+1}(wa_1 \sin \varphi / v_s) - J_{m+1}(wa_1 \sin \varphi / v_s) \}, \quad (17) \end{aligned}$$

$$\begin{aligned} v^{(1)} + v^{(2)}|_{r=a_1} &= v^{(2)}|_{r=a_1} \\ \therefore A_{m1}^{(1)} - B_{m1}^{(1)} &= A_{m2}^{(1)} - B_{m2}^{(1)} - \text{II}_0 \pi \cos \varphi \cdot e^{im\theta} \\ &\times \{ J_{m+1}(wa_1 \sin \varphi / v_s) + J_{m+1}(wa_1 \sin \varphi / v_s) \}, \quad (18) \end{aligned}$$

$$w^{(1)} + w^{(2)}|_{r=a_1} = w^{(2)}|_{r=a_1}, \quad (19)$$

$$\begin{aligned} \tau_{r1}^{(1)} + \tau_{r2}^{(1)}|_{r=a_1} &= \tau_{r2}^{(2)}|_{r=a_1} \\ \therefore \alpha_{m1}^{(1)} &= \alpha_{m2}^{(1)} + (\mu_1 / 2v_s) \text{II}_0 \pi \sin 2\varphi \cdot e^{im\theta} \\ &\times \{ J_{m+2}(wa_1 \sin \varphi / v_s) - J_{m+2}(wa_1 \sin \varphi / v_s) \}, \quad (20) \end{aligned}$$

$$\begin{aligned} \beta_{r1}^{(1)} + \beta_{r2}^{(1)}|_{r=a_1} &= \beta_{r2}^{(2)}|_{r=a_1} \\ \therefore \beta_{m1}^{(1)} &= \beta_{m2}^{(1)} + (\mu_1 / 2v_s) \text{II}_0 \pi \sin 2\varphi \cdot e^{im\theta} \\ &\times \{ -J_{m+2}(wa_1 \sin \varphi / v_s) + 2J_m(wa_1 \sin \varphi / v_s) \\ &- J_{m+2}(wa_1 \sin \varphi / v_s) \}, \quad (21) \end{aligned}$$

$$\tau_{r1}^{(1)} + \tau_{r2}^{(1)}|_{r=a_1} = \tau_{r2}^{(2)}|_{r=a_1} \quad (22)$$

ii-b). せん断応力が存在しない場合 (case-II)

この場合、境界面上にせん断応力は存在しないが、それでも、半径方向の変位と、半径方向の直応力は連続

しているものとする。したがって、式(17), (21)が成り立つ。その他の条件とて

$$(\tau_{r1}^{(1)} + \tau_{r2}^{(1)})|_{r=a_1} = 0$$

$$\therefore \alpha_{m1}^{(1)} + (\mu_1 / 2v_s) \text{II}_0 \pi \sin 2\varphi \cdot e^{im\theta} \omega \{ J_{m+2}(wa_1 \sin \varphi / v_s) \\ - J_{m+2}(wa_1 \sin \varphi / v_s) \} = 0 \quad (23)$$

$$(\tau_{r2}^{(1)})|_{r=a_1} = 0 \quad \therefore \alpha_{m1}^{(1)} = 0, \quad (24)$$

$$(\tau_{r2}^{(1)} + \tau_{r2}^{(2)})|_{r=a_1} = 0, \quad (25)$$

$$(\tau_{r2}^{(2)})|_{r=a_1} = 0, \quad (26)$$

を満足しなければならぬ。

式(16), (22), (24), (26) は必要な τ_{r2} を求める

$$\tau_{r2}|_{r=a_1} = \sum_m C_m T_{mk} \cos m\theta \cdot e^{i(m\theta - N\varphi)} \quad (27)$$

$$\begin{aligned} T_{mk} &= \sum_{k=1}^{\infty} \left[(c_m N / N_a a_k) G_m^{(k)}(N_a a_k) \cdot \alpha_{mk} \right. \\ &\quad \left. - (UN^2 / \rho v_s^2) \{ 2N_k / N \} (X_{mp}^{(k)}(N_a a_k) + mG_m^{(k)}(N_a a_k) \right. \\ &\quad \left. / N_a a_k) - (N / N_a + N_a / N) (X_{mp}^{(k)}(N_a a_k) + mG_m^{(k)}(N_a a_k) \right. \\ &\quad \left. / N_a a_k) \} \{ \beta_{mk} + 3\mu(m+1) A_{mk} - 3\mu(m-1) B_{mk} \right. \\ &\quad \left. + 3\mu(m+1) E_{mk} \} + (i' 2UmN / N_a^2 a_k) G_m^{(k)}(N_a a_k) \} (m+1) A_{mk} \\ &\quad + (m-1) B_{mk} \} + \mu (N^2 / N_a + N_a / N) \{ X_{mp}^{(k)}(N_a a_k) \\ &\quad + (m/N_a a_k) G_m^{(k)}(N_a a_k) \} E_{mk} \}, \quad (28) \end{aligned}$$

4. 数値計算

数値計算として、円筒の内外径比 $a_1/a_2 = 1.1$ のものに対して、ボアソン比 $\nu = 0.25$ で円筒と弾性体の弹性定数比 $\mu_2/\mu_1 = 10, 100, 1000$ に変化させたものと、弹性定数比 $\mu_2/\mu_1 = 100$ でボアソン比 $\nu = 0.05, 0.25, 0.45$ に変化させたものと解釈を行はる結果を図-2～図-8 に示した。

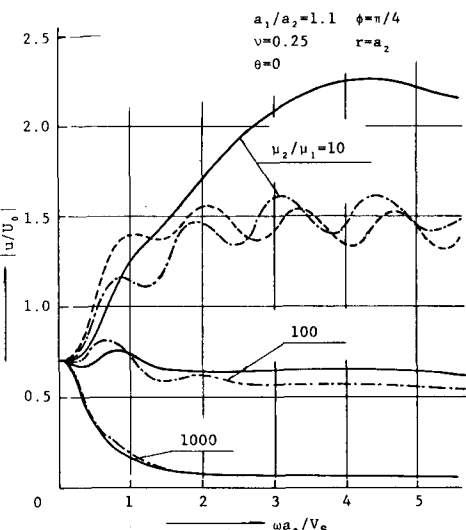


図-2 変位による角速度 ω に対する変化

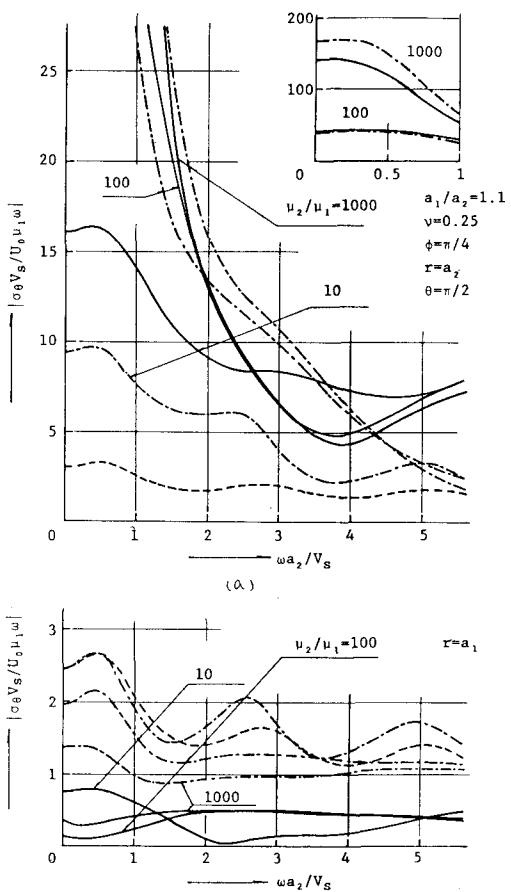


図-3 応力 σ_z の角速度 ω に対する変化 (a)

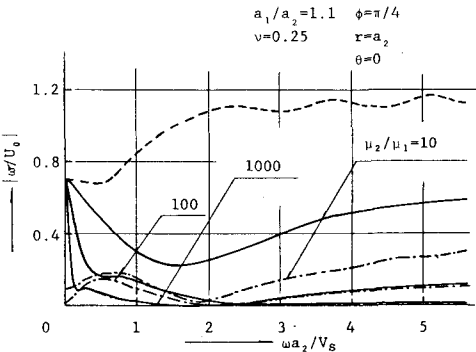


図-3 応力 σ_z の角速度 ω に対する変化 (b)

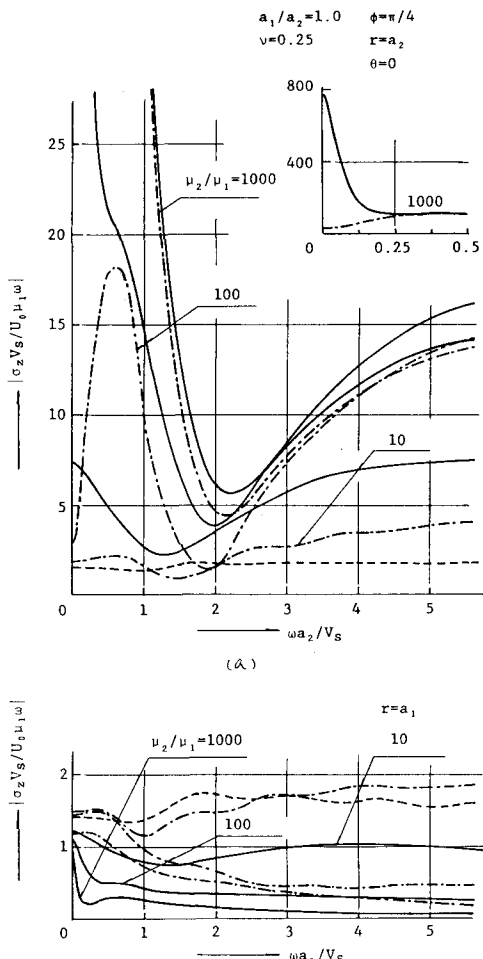


図-4 変位 W の角速度 ω に対する変化 (a)

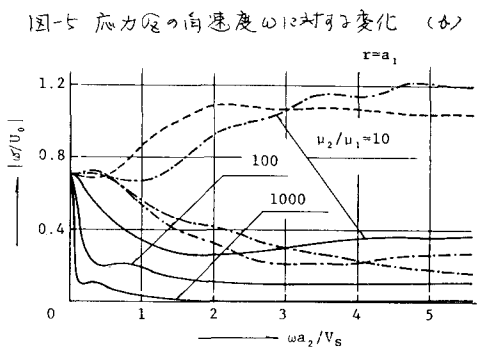
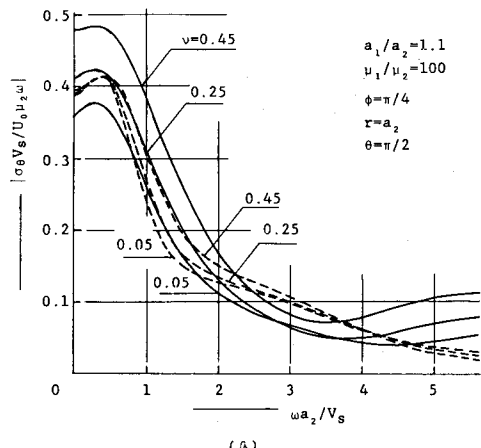


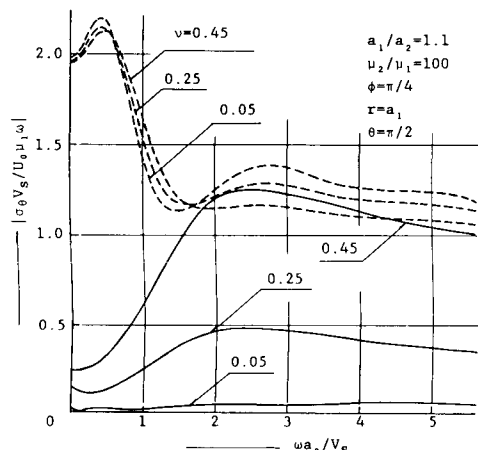
図-4 変位 W の角速度 ω に対する変化 (b)

図-2～5は(1)実線で Case-I, 鎮線で Case-II, 破線で円筒と弾性体の傾向が異なり、(2)筒では Case-I が弾性体で Case-II が大きくなるに弾性定数比が小さくなる程大きい(図-4)。応力 σ_z はやはり一般には円筒で Case-I が、弾性体で Case-II が大きいが、特に弾性体では ω の値によつても異なりまた弾性定数大になるとともに異なり変化を示している(図-3)。応力 σ_z は ω と

弾性定数比を変化させたものでは、半径方向変位は比較的小さなものは両者の差は大きい、また一般に Case-I の方が大きくはなっている(図-2)。軸方向変位は



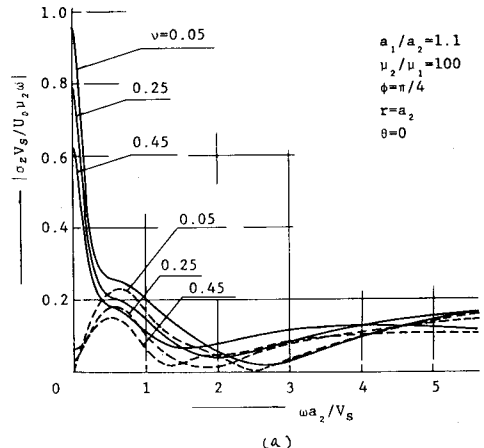
(a)

図-7 応力 $\tilde{\sigma}_0$ のボアソン比による相違 (a)

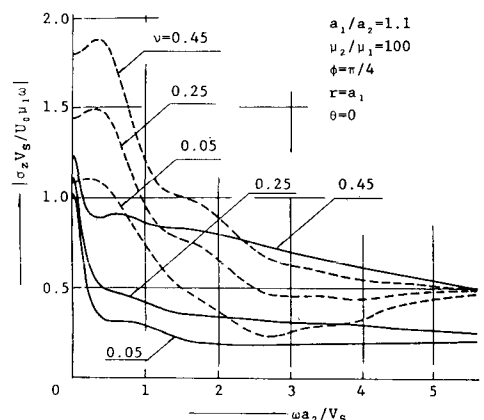
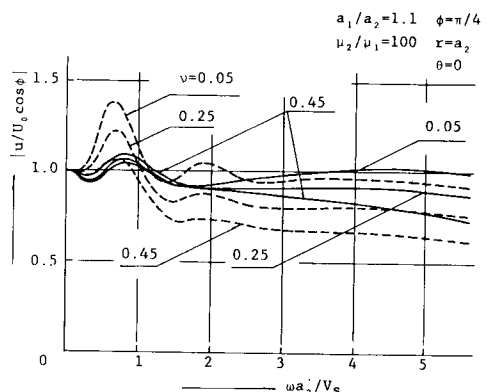
同様にかたりはつきりした傾向が表されており、円筒では case-I、弾性体では case-II が大きく特に ω の小さな範囲で円筒部と両者の差は著しい(図-5)。

ボアソン比の変化に対することは、変位は case-I の場合 $\omega a_2/V_0 < 1.5$ でボアソン比の大きさも $\omega a_2/V_0$ で小さくなるが大きく case-II ではボアソン比の小さなものが大きい(図-6)。応力 $\tilde{\sigma}_0$ は case-II ではボアソン比の影響が小さく case-I ではボアソン比の大きなものが大きくその影響も大きい(図-7)。応力 $\tilde{\sigma}_0$ は、 ω の小さい範囲で円筒、弾性体ともボアソン比による影響は大きく円筒ではボアソン比の小さなものが、弾性体では大きなものが case-I、II とも大きな値となる(図-8)。

複数計算が十分ではないが、以上の結果から、傾向と境界面に沿う応力が存在しない場合(すなわち円筒部の



(a)

図-8 応力 $\tilde{\sigma}_0$ のボアソン比による相違 (b)図-6 変位 $u/V₀ \cos \phi$ による相違

変位、応力は小さく弾性体では大きな値とはさが用いたを有する無限体よりは小さな値である。

[参考文献] 1. 平井・佐武: 沖縄国学研究会集 第1部, 993, 1979
1(1), 2(松岡・能町: 土木道支那文書叢書 No.7), 97, 1981.